

# Exercício programa - Reconhecimento de dígitos

## Computação III - CCM0218

Carlo Bellinati NUSP: 11258360

Rafael Badain NUSP:10277102

28/11/2020

### 1 Primeira tarefa

Na primeira tarefa, o objetivo era implementar um programa que resolvesse múltiplos sistemas lineares através de fatoração QR, realizada por sucessivas rotações de Givens.

A rotação de Givens está implementada em **rot\_givens.py**, e a resolução de sistemas lineares com fatoração QR está implementado em **systems\_qr.py**. Fizemos os testes pedidos para a resolução dos sistemas únicos  $Wx = b$  (testes A e B) e os sistemas múltiplos  $WH = A$  (testes C e D):

- Teste A (Sistema único e determinado):  $n = m = 64, W_{i,i} = 2, i = 1, \dots, n, W_{ij} = 1$  se  $|i - j| = 1$  e  $W_{ij} = 0$  se  $|i - j| > 1$  e  $b(i) = 1, i = 1, \dots, n$
- Teste B (Sistema único e sobredeterminado):  $n = 20, m = 17, W_{ij} = 1/(i + j - 1)$  se  $|i - j| < 4$  e  $W_{ij} = 0$  se  $|i - j| > 4$  e  $b(i) = i, i = 1, \dots, n$
- Teste C (Sistema múltiplo e determinado):  $n = m = 64, W_{i,i} = 2, i = 1, \dots, n, W_{ij} = 1$  se  $|i - j| = 1$  e  $W_{ij} = 0$  se  $|i - j| > 1$  e  $A(i, 1) = 1, A(i, 2) = i, A(i, 3) = 2i - 1, i = 1, \dots, n$
- Teste D (Sistema múltiplo e sobredeterminado):  $n = 20, m = 17, W_{ij} = 1/(i + j - 1)$  se  $|i - j| < 4$  e  $W_{ij} = 0$  se  $|i - j| > 4$  e  $A(i, 1) = 1, A(i, 2) = i, A(i, 3) = 2i - 1, i = 1, \dots, n$

As matrizes com as soluções dos sistemas dos testes A a D podem ser encontradas em **testes\_primeira\_tarefa.txt**. Foi calculado em cada caso o erro quadrático da resolução desses sistemas, isto é, a norma euclidiana da matriz  $B = A - WH$ , dada por

$$E = \|B\| = \sqrt{\sum_{i=0}^n \sum_{j=0}^m B(i, j)^2}$$

Nos testes A e C, que resolviam sistemas determinados ( $n = m$ ) temos um erro igual a zero, como era esperado. Para os testes B e D, que resolvem sistemas sobredeterminados ( $n > m$ ), o resultado já mostra um erro significativo de, respectivamente, 11.153786357262028 e 24.466302973737676.

## 2 Segunda tarefa

Na segunda tarefa tínhamos que implementar um código que realizasse uma fatoração não negativa de uma matriz  $A$   $n \times m$  em matrizes  $W$   $n \times p$  e  $H$   $p \times m$ . Essa fatoração não é necessariamente exata e apresenta um erro quadrático que o algoritmo busca minimizar. O resultado também pode não convergir, por isso estabelecemos um número máximo de iterações e um limite de erro para declarar convergência do resultado da fatoração. O código com essa implementação está em **nnmf.py**. Usamos o exemplo do roteiro para decompor a seguinte matriz:

$$A = \begin{pmatrix} 3/10 & 3/5 & 0 \\ 1/2 & 0 & 1 \\ 4/10 & 4/5 & 0 \end{pmatrix}$$

Os resultados obtidos estão em **testes\_segunda\_tarefa.txt**. Para cada vez que rodamos o programa duas diferentes decomposições,  $WH$  e  $W'H'$ , eram possíveis de ser obtidas:

$$W = \begin{pmatrix} 3/5 & 0 \\ 0 & 1 \\ 4/5 & 0 \end{pmatrix} \quad H = \begin{pmatrix} 1/2 & 1 & 0 \\ 1/2 & 0 & 1 \end{pmatrix}$$

$$W' = \begin{pmatrix} 0 & 3/5 \\ 1 & 0 \\ 0 & 4/5 \end{pmatrix} \quad H' = \begin{pmatrix} 1/2 & 0 & 1 \\ 1/2 & 1 & 0 \end{pmatrix}$$

Podemos observar que  $WH = W'H' = A$ , ou seja, ambas as decomposições são exatas e portanto tem erro zero. Esse problema não tem solução única, pois ao resolver o problema de mínimos quadrados, que minimiza o erro, se há mais de uma solução exata, há mais de uma solução possível, e dependendo dos valores iniciais de  $W$  (que são aleatórios) podemos obter resultados diferentes.

Testamos também a frequência de cada uma dessas decomposições e verificamos que ambas decomposições acontecem na mesma proporção (50% cada). Todos os testes foram realizados com os mesmos parâmetros de convergência:  $itmax = 100$  e  $\epsilon = 10^{-5}$ .

## 3 Tarefa principal

### 3.1 Fase de treinamento

Nessa fase do projeto realizamos o aprendizado de cada dígito  $d$ , que é armazenado em uma matriz  $W_d$   $784 \times p$ .  $W_d$  é uma matriz que contém  $p$  imagens de tamanho  $28 \times 28$ . Essas imagens são como um "resumo" das  $ndig\_treino$  imagens do dígito  $d$  analisadas de um banco de dados. A estratégia para se obter esse "resumo" de muitas imagens feito de poucas é utilizar a fatoração não negativa. Seja  $A$  uma matriz  $784 \times ndig\_treino$  que contém as imagens do banco de dados usadas para o treinamento, obtemos  $W_d$  fazendo a fatoração não negativa  $W_d H = A$ . Esse código está no arquivo **training\_MNIST.py**.

Para os dígitos de 0 a 9 usamos os valores de referência  $ndig\_treino = 100, 1000, 4000$  e  $p = 5, 10, 15$ . Cada matriz classificadora está salva na pasta **output** com o nome **W\_d\_ndigtreino.p.txt**. Uma análise importante é a do tempo gasto para treinar

cada matriz  $W_d$ . A tabela 1 mostra a média, em segundos, do tempo de execução dos dígitos em cada caso de  $ndig\_treino$  ( $ndt$ ) e  $p$ .

| <b>ndt/p</b> | <b>5</b> | <b>10</b> | <b>15</b> |
|--------------|----------|-----------|-----------|
| <b>100</b>   | 8,896    | 20,872    | 31,816    |
| <b>1000</b>  | 25,761   | 50,892    | 77,337    |
| <b>4000</b>  | 75,706   | 154,249   | 232,301   |

Tabela 1: Médias dos tempos de execução dos dígitos

Analisando o comportamento de  $p$ , vemos que para todos  $ndig\_treinos$  o tempo, aproximadamente, sempre é somado um mesmo valor ao se adicionar 5 unidades ao valor de  $p$ . O tempo dobra de  $p = 5$  para  $p = 10$  e é multiplicado por 1.5 de  $p = 10$  para  $p = 15$ .

Já em relação ao comportamento do tempo de execução em função de  $ndig\_treino$ , temos que o tempo médio de execução, aproximadamente, duplica de  $ndt = 100$  para  $ndt = 1000$  e triplica de  $ndt = 1000$  para  $ndt = 4000$ .

Podemos também analisar o tempo de execução de cada dígito individualmente. A tabela 2 mostra os tempos de execução  $t(d, ndig\_treino, p)$  para treinar cada dígito  $d$  para cada par  $(ndig\_treino, p)$ . A última coluna mostra uma média normalizada do tempo de execução de todos os casos  $\bar{t}_d$ , calculada por

$$\bar{t}_d = \frac{S_d}{\sum_{D=0}^9 S_D}, \quad S_d = \sum_{(n,p)} \frac{t(d, n, p)}{\sum_{D=0}^9 t(D, n, p)}$$

O valor dessas médias também é representado pelo gráfico da figura 1. Podemos perceber que para cada caso, os dígitos mais demorados e mais rápidos mudam, e a diferença entre eles é baixa (desvio padrão pequeno). No gráfico vemos que, numa média geral, o dígito mais rápido é o 5 enquanto os mais demorados são o 0, 3 e 9.

### 3.2 Classificação dos dígitos

A última etapa do projeto era a de classificação dos dígitos. Temos um banco de imagens que devem ser testadas e classificadas entre os dígitos de 0 a 9, usando as matrizes que representam o aprendizado de máquina  $W_d$ . Existe um gabarito para esse teste, e com ele calculamos a porcentagem de acerto geral ( $P = n\_acertos/n\_teste$ ) e a porcentagem de acerto para cada dígito ( $P_d = n\_acertos_d/n\_teste_d$ ).

O programa faz isso resolvendo um problema de mínimos quadrados, que é um sistema simultâneo sobreterminado  $W_d H = A$ , onde  $A$  é uma matriz  $784 \times n\_teste$  que contém as imagens a serem testadas. Verificamos para cada um desses sistemas, com qual matriz  $W_d$  ocorreu o menor erro, e então classificamos esse dígito como  $d$ . O código está presente no arquivo **classify\_MNIST.py** e todas as classificações foram feitas usando  $n\_teste = 10000$ . Os resultados descritos a seguir estão na pasta outputs no arquivo **classify\_index\_10000.txt**.

Vamos analisar primeiro o valor da porcentagem de acerto em função de  $ndig\_treino$  e  $p$ . A tabela 3 mostra a porcentagem geral de acerto para cada  $ndig\_treino$  e  $p$ . Como esperado, quando aumentamos  $p$  e  $ndig\_treino$ , a precisão cresce. Os efeitos de aumento de  $p$  e  $ndig\_treino$ , para os valores dados, parecem ter uma contribuição semelhante.

| d/(n,p) | (100,5) | (100,10) | (100,15) | (1000,5) | (1000,10) |
|---------|---------|----------|----------|----------|-----------|
| 0       | 9,83    | 22,97    | 30,39    | 26,4     | 51,41     |
| 1       | 9,93    | 22,14    | 29,77    | 25,01    | 49,57     |
| 2       | 9,19    | 21,68    | 30,25    | 24,73    | 40,71     |
| 3       | 9,26    | 20,67    | 32,48    | 28,98    | 50,98     |
| 4       | 9,51    | 19,32    | 33,31    | 25,51    | 50,56     |
| 5       | 5,44    | 19,64    | 30,54    | 24,98    | 49,8      |
| 6       | 9,72    | 19,13    | 31,79    | 25,01    | 48,3      |
| 7       | 6,64    | 20,72    | 34,24    | 25,62    | 53,46     |
| 8       | 9,22    | 21,28    | 32,09    | 24,79    | 50,81     |
| 9       | 10,12   | 21,1     | 31,3     | 26,13    | 54,21     |

| d/(n,p) | (1000,15) | (4000,5) | (4000,10) | (4000,15) | Valor médio   |
|---------|-----------|----------|-----------|-----------|---------------|
| 0       | 76,72     | 75,25    | 156,57    | 226,91    | 0,102242341   |
| 1       | 77,05     | 76,36    | 156,12    | 231,34    | 0,1010877126  |
| 2       | 76,17     | 75,26    | 160,82    | 241,14    | 0,09851495129 |
| 3       | 77,05     | 75,13    | 152,8     | 234,04    | 0,1021577418  |
| 4       | 76,6      | 75,12    | 158,84    | 229,93    | 0,1006228557  |
| 5       | 79,31     | 75,63    | 154,77    | 233,76    | 0,09468696881 |
| 6       | 75,82     | 74,71    | 146,98    | 226,81    | 0,09835575354 |
| 7       | 80,37     | 75,66    | 151,25    | 235,58    | 0,09914328646 |
| 8       | 75,94     | 75,69    | 154,37    | 234,13    | 0,1004874362  |
| 9       | 78,19     | 78,15    | 149,89    | 229,22    | 0,1027009527  |

Tabela 2: Tempos de execução para cada dígito

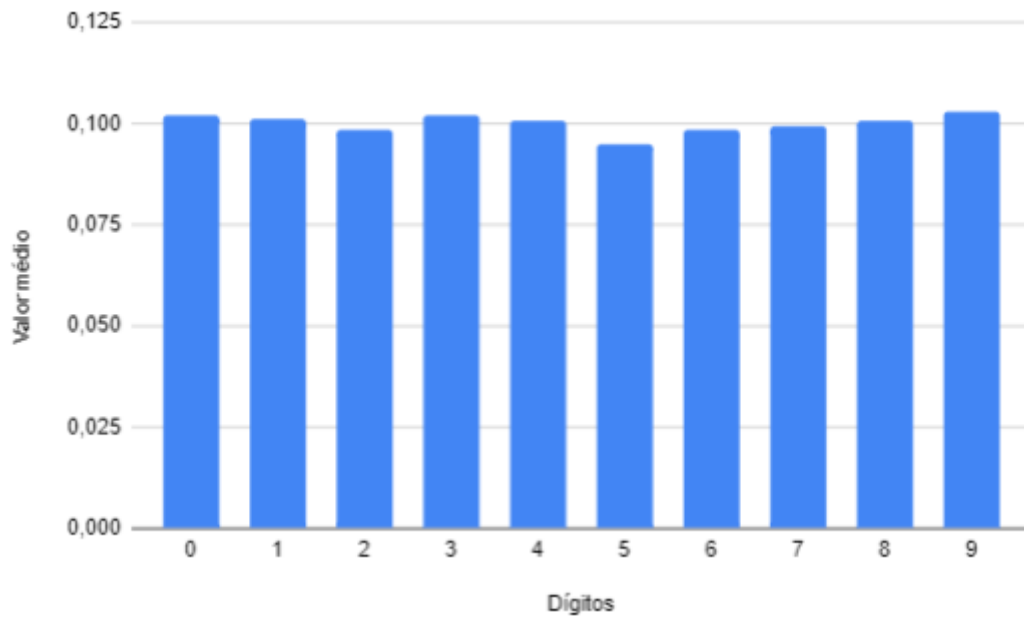


Figura 1: Valores médios normalizados para cada dígito

| ndt/p | 5     | 10    | 15    |
|-------|-------|-------|-------|
| 100   | 88,01 | 90,06 | 90,95 |
| 1000  | 90,75 | 92,91 | 93,59 |
| 4000  | 91,69 | 93,49 | 93,92 |

Tabela 3: Porcentagens gerais de acerto

Podemos comparar as tabelas 1 e 3. As tabelas 4 e 5 mostra a ordem crescente dos termos das tabelas 1 e 3, respectivamente. De modo geral, o crescimento do tempo de treinamento é acompanhado de um aumento na porcentagem de acertos. Porém foi possível notar alguns casos que a precisão era maior e o tempo de treinamento menor. São os casos das células em verde nas tabelas, que se mostram mais vantajosas que as células vermelhas. Por exemplo, é mais rápido e mais preciso usar  $(ndig\_treino, p) = (1000, 10)$  do que  $(4000, 5)$ . Da mesma forma, é mais vantajoso usar  $(1000, 15)$  do que  $(4000, 10)$ . Teríamos que realizar mais testes para conferir esse padrão, mas ele parece favorecer o aumento de  $p$  em relação ao aumento de  $ndig\_treino$ .

| ndt/p | 5 | 10 | 15 |
|-------|---|----|----|
| 100   | 1 | 2  | 4  |
| 1000  | 3 | 5  | 7  |
| 4000  | 6 | 8  | 9  |

Tabela 4: Ordem crescente da tabela 1

| ndt/p | 5 | 10 | 15 |
|-------|---|----|----|
| 100   | 1 | 2  | 4  |
| 1000  | 3 | 6  | 8  |
| 4000  | 5 | 7  | 9  |

Tabela 5: Ordem crescente da tabela 3

Podemos agora, analisar os dígitos separadamente, avaliando os valores de  $P_d$  para cada par  $(ndig\_treino, p)$  com  $d = 0, \dots, 9$ . A tabela 6 possui esses valores. O gráfico da figura 2 mostra valores médios normalizados para a precisão de cada dígito para cada par  $(ndig\_treino, p) = (n, p)$  e  $d = 0, \dots, 9$

$$\bar{P}_d = \sum_{(n,p)} \frac{P_d(n,p)}{\sum_{D=0}^9 P_D(n,p)}$$

A tabela 6 mostra que existe uma clara disparidade entre a precisão de cada dígito. Existem dígitos com precisão consideravelmente mais alta que outros, como por exemplo, o dígito 1 e o dígito 8. Essas diferenças se mantêm para todos  $(ndig\_treino, p)$ , isto é, a ordem dos dígitos em termos da precisão é razoavelmente constante. Os dígitos cuja classificação é mais precisa são 0 e 1, e os dígitos das menos precisas são o 5 e 8. Aparentemente, não há muita semelhança com o padrão de tempo de treinamento exibido no gráfico da figura ?? Isso nos leva a supor que um dígito pode ser mais "simples" quanto a sua classificação, mas mais "complexo" quanto ao seu treinamento.

| d/(n,p) | (100,5) | (100,10) | (100,15) | (1000,5) | (1000,10) |
|---------|---------|----------|----------|----------|-----------|
| 0       | 97,55   | 97,65    | 97,85    | 97,55    | 98,67     |
| 1       | 99,21   | 99,47    | 99,47    | 99,20    | 99,55     |
| 2       | 84,78   | 90,11    | 90,01    | 86,91    | 90,79     |
| 3       | 85,04   | 86,13    | 87,82    | 90,49    | 91,98     |
| 4       | 80,24   | 84,41    | 87,16    | 86,55    | 92,97     |
| 5       | 83,07   | 86,54    | 84,30    | 86,32    | 89,57     |
| 6       | 93,00   | 96,34    | 95,51    | 90,03    | 95,92     |
| 7       | 88,42   | 91,34    | 94,26    | 89,49    | 90,85     |
| 8       | 79,87   | 79,26    | 82,23    | 86,96    | 87,78     |
| 9       | 86,81   | 87,71    | 88,99    | 87,11    | 89,99     |

| d/(n,p) | (1000,15) | (4000,5) | (4000,10) | (4000,15) |
|---------|-----------|----------|-----------|-----------|
| 0       | 98,77     | 97,65    | 98,87     | 98,77     |
| 1       | 99,55     | 99,38    | 99,38     | 99,38     |
| 2       | 92,34     | 89,92    | 91,66     | 92,63     |
| 3       | 92,07     | 92,47    | 93,76     | 93,06     |
| 4       | 93,27     | 88,48    | 92,56     | 93,48     |
| 5       | 90,02     | 88,00    | 90,02     | 90,35     |
| 6       | 94,45     | 96,76    | 96,13     | 97,18     |
| 7       | 93,09     | 88,81    | 91,34     | 90,66     |
| 8       | 87,37     | 88,80    | 89,52     | 91,06     |
| 9       | 91,87     | 85,53    | 90,68     | 91,77     |

Tabela 6: Porcentagens de acerto de cada dígito

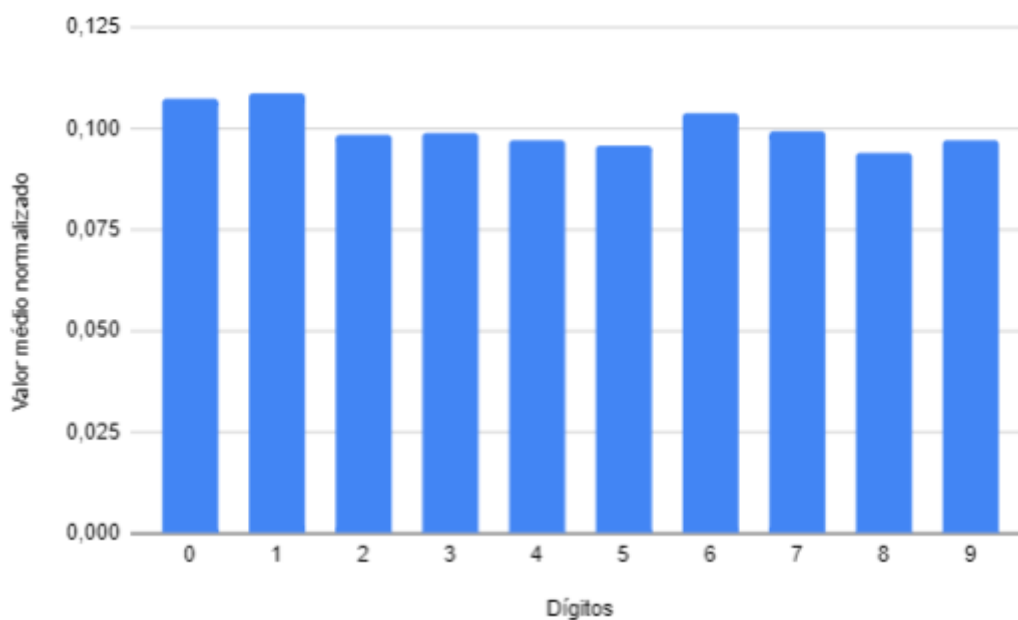


Figura 2: Valores médios normalizados da precisão para cada dígito